# Ouverture des gem dicyano epoxydes par les halohydrates d'amines: application à la synthèse d'analogues structuraux du tétramisole et évaluation biologique

S Jaguelin<sup>1</sup>, A Robert<sup>1</sup>, N Genetet<sup>2</sup>, P Gayral<sup>3\*</sup>

<sup>1</sup>Groupe de Recherches de Chimie structurale, Unité associée au CNRS, Université de Rennes, 35042 Rennes; <sup>2</sup>Groupe de Recherches en Immunologie fondamentale et appliquée, Université de Rennes, 35042 Rennes; <sup>3</sup>Laboratoire de Parasitologie, Faculté de Pharmacie, Université de Paris Sud, 92290 Châtenay-Malabry, France

(Recu le 17 mai 1989; accepté le 12 juin 1990)

**Résumé** — Des amides α-halogénés sont obtenus en une seule opération par réaction des gem dicyano époxydes avec des halohydrates d'amines. Cette réactivité originale des gem dicyano époxydes est mise à profit pour préparer des imidazo[2,1-b]thiazoles substitués qui sont des analogues structuraux du tétramisole. Les principaux résultats concernant les criblages antiparasitaires et immunomodulateurs des thiazoles préparés sont également décrits.

Summary — Opening of gem dicyano epoxides with amino hydrohalides: application to the synthesis of structural analogs of tetramisole and biological evaluation.  $\alpha$ -halogenamides are prepared in a onepot reaction by reacting gem dicyano epoxides with amino hydrohalides. This original reactivity of gem dicyano epoxides is used to prepare substituted [2,1-b]imidazothiazoles which are structural analogs of tetramisole. The main results of the antiparasitic and immunomodulating screenings are also described.

cyano epoxides / halohydrate amines / imidazo[2,1-b]thiazoles / structural analogs tetramisole / antiparasitic and immuno-modulating properties

# Introduction

La découverte de nouvelles substances immunomodulatrices et antiparasitaires est une véritable nécessité en particulier pour palier aux phénomènes de chimiorésistance et d'intolérance fréquemment rencontrés avec les produits actuels.

C'est dans ce double objectif que ce travail a été mené sur une série proche du lévamisole (l-tétramisole), un nématocide et immunomodulateur connu.

D'un point de vue chimique, la synthèse d'analogues structuraux du tétramisole est envisagée en utilisant une voie d'accès originale par réaction des gem dicyano époxydes avec des halohydrates d'amines.

Les essais biologiques sont ensuite effectués sur différents modèles expérimentaux d'évaluation d'activités immunomodulatrices et antiparasitaires dans le but de dégager des relations structure chimique—activité biologique.

Nous avons montré que les 2 carbones du cycle des gem dicyano époxydes se comportent comme des sites électrophiles lorsque ces composés sont opposés à des réactifs biélectrophiles thiocarbonylés comme la thiourée ou les thioamides. L'ouverture de l'époxyde par le réactif nucléophile thiocarbonylé conduit, via une cyanhydrine instable à un intermédiaire très réactif substitué par un groupement cyanoformyle et capable de subir une hétérocyclisation. La réaction constitue une voie d'accès intéressante à de nombreux hétérocycles de la série du thiazole [1-6]. La réaction n'a cependant pas pu être appliquée à la synthèse des imidazoles puisque les 2 carbones du cycle des époxydes 1 ne se comportent plus comme des sites électrophiles lorsque des amines, des 2-aminopyridines ou des 2-aminothiazolines leur sont opposés [7-8].

Nous nous proposons de montrer, dans ce mémoire, que le caractère biélectrophile potentiel des 2 carbones du cycle des époxydes 1 peut être retrouvé lorsque ces composés sont opposés à des halohydrates d'amines.

<sup>\*</sup>Correspondance et tirés à part

Certains des composés ayant, soit une analogie avec le tétramisole, soit une structure d'imidazo-[2,1-b]thiazole potentiel, ont été soumis à des essais d'activités antiparasitaires et immunomodulatrices.

# Chimie

Les amides arylacétiques 4 sont facilement obtenus lorsque les époxydes 1 en solution dans de l'acétonitrile sont traités avec la quantité stoechiométrique d'hydracide en solution aqueuse, à la température ambiante pendant 16 h. Les intermédiaires postulés 2 et 3 sont très réactifs et n'ont jamais été isolés (schéma 1). Les amides α-fluorés sont obtenus en faisant réagir les époxydes en solution dans du dichlorométhane avec un mélange HF/pyridine et en additionnant dans un second temps une solution concentrée d'ammoniaque. La réaction qui nécessite la présence de 2 groupes partants en position géminée sur l'époxyde n'est pas limitée aux époxydes 1. Nous avons, en effet, montré que le 2,2-dicyano, 3-méthyl-3-phényloxirane 5 conduit dans des conditions analogues au 2-fluoro-2-phénylpropanamide 6.

Les amides α-halogénés 4 sont caractérisés par leurs spectres IR, RMN et de masse (tableau I).

Il y a lieu de souligner la double sélectivité observée au cours de cette réaction qui s'effectue en une seule opération: c'est toujours l'hydracide qui ouvre dans un premier temps le cycle de l'époxyde et l'halogénure se fixe uniquement sur le carbone substitué par le groupement aryle, et c'est toujours l'amine qui attaque dans un second temps le groupement cyanoformyle.

Schéma 1. Ouverture des époxydes 1 par les halohydrates d'amines.

Cette synthèse d'amides, halogénés de façon univoque en position  $\alpha$ , nous semble digne d'intérêt puisque des amides de ce type permettent d'accéder par exemple aux  $\alpha$ -lactames, aux dioxopipérazines ou aux oxazolidines [9, 10]. Dans le cadre d'un travail relatif à l'étude des propriétés antiparasitaires et immunostimulantes des analogues structuraux du tétramisole [11] (6-phényl 2,3,5,6-tétrahydroimidazo[2,1-b]thiazole) nous sommes proposés d'appliquer ce type de synthèse à la préparation d'imidazothiazoles substitués. Nous avons donc opposé les halohydrates de 2-amino  $\Delta$ 2-thiazoline 7, 2-aminothiazole 8 et 2-amino-5-p-chlorophényl thiazolin-4-one 9 aux époxydes 1.

Tableau I. Amides α-halogénés 4 pYC<sub>6</sub>H<sub>4</sub>CH-C-NHR<sup>1</sup>.

Y	X	$R^{I}$	<i>Rdt</i> (%)	$F^{\circ}\!C$	Formules	Mass	se M+	IR (Nu	iol) cm $^{-1}$	<i>RMN</i>	$(CDCl_3 + CF_3C)$	$(O_2H)$
					analyses	calc	trouvée	$v_{CO}(m)$	·	$\delta_{R_I}$	$\delta_{\!H}$	$\delta_R$
Н	Cl	CH <sub>3</sub>	80	76	C <sub>9</sub> H <sub>10</sub> NOCl	183,0450	183,044	1655	3268	2,80 (d, 3H)	5,40 (s, 1H)	7,35 (m, 5H)
Cl	Br	$CH_3$	90	114	C <sub>9</sub> H <sub>9</sub> NOBrCl	260,9556	260,952	1669	3277	2,90 (d, 3H)	5,40 (s, 1H)	7,35 (m, 4H)
Cl	Cl	CH <sub>3</sub> CH <sub>2</sub>	76	106	$C_{10}H_{11}NOCl_2$	233,0188	233,021	1665	3270	1,20 (t, 3H) 3,35 (m, 2H)	5,35 (s, 1H)	7,35 (m, 4H)
Cl	Br	CH <sub>3</sub> CH <sub>2</sub>	90	120	C <sub>10</sub> H <sub>11</sub> NOBrCl	274,9712	274,971	1650	3270	1,20 (t, 3H) 3,30 (m, 2H)	5,40 (s, 1H)	7,35 (m, 4H)
Cl	Cl	$C_6H_5$	96	122	$C_{14}H_{11}NOCl_2$	279,0217	279,021	1662	3265	a	5,57 (s, 1H)	7,35 (m, 9H)
CH <sub>3</sub>	F	Н	40	133	C <sub>9</sub> H <sub>11</sub> NOF	167,0746	167,074	1656	3380 3150	-	5,77  (d, 1H; $J_{\text{HF}} = 47 \text{ Hz)}$	2,40 (d, 3H; $J_{HF} = 2 \text{ Hz}$ ) 7,25 (m, 4H)

 $<sup>{}^{</sup>a}\delta R_{1}$  confondu avec  $\delta pClC_{6}H_{4}$ .

Les époxydes 1 réagissent avec le chlorhydrate ou le bromhydrate de 2-amino  $\Delta_2$ -thiazoline 7 en 2 h à la température ambiante pour donner les amides  $\alpha$  halogénées 10 (schéma 2; tableau II).

La structure isomère 11 a été éliminée sur la base des considérations suivantes: le spectre de RMN  $^{13}$ C de l'amide  $\alpha$ -chloré 10 (Y = X = Cl) présente un

Schéma 2. Ouverture des époxydes 1 par un halohydrate de 2-aminothiazoline.

doublet ( $J^2 = 4$  Hz) pour le carbonyle, situé à 168,6 ppm. Un couplage  $J^3$  avec le groupe  $CH_2$ -N serait attendu pour l'isomère 11; le spectre de masse (MIKE) du composé 10 (Y = X = Cl) présente un ion fragment m/e = 129 provenant directement de l'ion moléculaire et dont la décomposition conduit directement à l'ion radical m/e = 86.

Le composé 11 (Y = Cl) a été préparé selon une méthode non ambiguë (voir suite) et présente des caractéristiques spectrales nettement différentes de l'isomère 10 (X = Y = Cl).

On notera que c'est l'azote du groupement amino exocyclique de la 2-amino  $\Delta_2$ -thiazoline qui réagit spécifiquement sur le groupe cyanoformyle de l'intermédiaire **12**. L'orientation de l'attaque nucléophile est donc l'inverse de ce qui est généralement observé en l'absence d'acide [12–14]. Cette différence de réactivité s'explique par les conditions expérimentales. En effet, la réaction est effectuée en milieu acide et conformément à ce qui a déjà été observé dans la littérature [15, 16], c'est l'azote endocyclique, le plus basique, qui est préférentiellement protoné, permettant une attaque exclusive de l'azote exocyclique.

Tableau II. Amides α-halogénés pYC<sub>6</sub>H<sub>4</sub>CH–C–NH–

Y	X	Rdt (%)	$F^{\infty}$	Formules analyses	Masse calc	M+• trouvée	IR (Nuje v <sub>NH</sub> (L)	ol) $cm^{-1}$ $v_{CO}(m)$	$\delta_{C ext{H}_2} ext{-S}$	$RMN$ (CDC $l_3$ · $\delta_{CH_2}$ -N	+ $CF_3CO_2H$ ) $ppm$ $\delta_H$	$\delta_{{ ilde{ heta}}Y{ ilde{ heta}}_6^{H_4}}$
Н	Cl	70	178	C <sub>11</sub> H <sub>11</sub> N <sub>2</sub> OSCl (C, H, N, S, Cl)	254,0281	254,027	3250	1618	3,60 (t, 2H)	4,20 (t, 2H)	5,60 (s, 1H)	7,45 (m, 5H)
Cl	Cl	70	163	C <sub>11</sub> H <sub>10</sub> N <sub>2</sub> OSCl <sub>2</sub> (C, H, N, S, Cl)	287,9891	287,991	3230-	1640	3,55 (t, 2H)	4,20 (t, 2H)	5,60 (s, 1H)	7,40 (m, 4H)
CH <sub>3</sub>	Cl	75	163	C <sub>12</sub> H <sub>13</sub> N <sub>2</sub> OSCl (C, H, N, S, Cl)	268,0437	268,042	3250	1630	3,60 (t, 2H)	4,10 (t, 2H)	5,60 (s, 1H)	7,30 (m, 4H) 2,35 (s, 3H)
NO <sub>2</sub>	Cl	60	167	C <sub>11</sub> H <sub>10</sub> N <sub>3</sub> C <sub>3</sub> SCl (C, H, N, S, Cl)	299,0131	299,010	3250	1628	3,60 (t, 2H)	4,20 (t, 2H)	5,75 (s, 1H)	8,00 (m, 4H)
Н	Br	95	130	C <sub>11</sub> H <sub>11</sub> N <sub>2</sub> OSBr (C, H, N, S, Br)	297,9775	297,977	3250	1625	3,50 (t, 2H)	4,15 (t, 2H)	5,60 (s, 1H)	7,40 (m, 5H)
Cl	Br	95	146	C <sub>11</sub> H <sub>10</sub> N <sub>2</sub> OSBrCl (C, H, N, S, Br, Cl		331,939	3150	1627	3,55 (t, 2H)	4,20 (t, 2H)	5,55 (s, 1H)	7,40 (m, 4H)
CH <sub>3</sub>	Br	90	176	C <sub>12</sub> H <sub>13</sub> N <sub>2</sub> OSBr (C, H, N, S, Br)	311,9931	311,993	3147	1628	3,40 (t, 2H)	4,10 (t, 2H)	5,60 (s, 1H)	7,30 (m, 4H) 2,30 (s, 3H)

L'hétérocyclisation des dérivés  $\alpha$ -bromés 10 nous a permis d'isoler les bromhydrates de 5-aryl 6-oxo-2,3,5,6-tétrahydroimidazo[2,1-b]thiazoles 13 (schéma 2). En revanche, le chlore étant moins bon nucléofuge que le brome, cette hétérocyclisation n'a pas été observée dans le cas des amides  $\alpha$ -chlorés 10 même après plusieurs jours d'ébullition dans du toluène. Les composés  $\alpha$ -bromés 10 étant facilement accessibles, nous n'avons pas cherché à réaliser la cyclisation des amides  $\alpha$ -chlorés dans d'autres conditions.

La réaction du 2-aminothiazole 8 avec l'époxyde 1 (X = H) en présence d'une quantité stoechiométrique d'acide bromhydrique en solution aqueuse permet également d'obtenir l'amide α-bromé 14 (schéma 3). Nous ne sommes cependant pas parvenu à cycliser ce composé 14 en imidazo[2,1-b]thiazole. En revanche, le bromohydrate de 2-amino-5-p-chlorophénylthiazolin-4-one 9 [17] réagit à la température ambiante avec l'époxyde 1 pour donner directement le bromhydrate de 2-p-chlorophényl 3,6-dioxo-2,3,5,6-tétrahydroimidazo[2,1-b]thiazole 15 (schéma 3).

$$C_{6}H_{5}CH^{-}CC = CN + NH_{2} + NH$$

Schéma 3. Ouverture de l'époxyde 1 (Y = H) par les bromhydrates de 2-aminothiazole et de 2-aminothiazolinone 9.

Il est intéressant de noter que les 5-aryl-6-oxoimidazo[2,1-b]thiazoles 13 et 15 peuvent être considérés comme des analogues structuraux du tétramisole. Cependant, la position du groupement aryle en 5 sur le cycle imidazole n'est pas celle que nous aurions pu souhaiter. En effet, le phényle en position 6 du tétramisole confère à ce composé des propriétés pharmacologiques [18]. L'isotétramisole pour lequel le groupement phényle se trouve en position 5 ne possède pas les propriétés anthelminthiques de son analogue structural le tétramisole [19].

Nous nous sommes proposés d'appliquer la méthode de synthèse précédente à la préparation des amides α-halogénés 11 isomères de 10 et précurseurs d'imidazo[2,1-b]thiazoles substitués en position 6 par un groupe aryle. La suite des réactions décrite dans le schéma 4 a été réalisée avec succès et nous a permis d'accéder aux composés α chlorés 17, 18 et 11 ainsi qu'au 6-aryl 5-oxo-2,3,5,6-tétrahydroimidazo[2,1-b]thiazole 19. La structure des composés préparés est établie dans la partie expérimentale.

$$P^{YC_6H_4} CH - C CN + H_2N - CH_2 - CH_2X, HCI$$

$$P^{YC_6H_4} CH - C CI NH - CH_2 - CH_2X$$

$$NH_4 SCN \mid (X = CI) V$$

$$P^{YC_6H_4} CH - C CI NH - CH_2 - CH_2SCN$$

$$18$$

$$NE_{I_3} CH_{3/2}CHOH$$

$$Iemp. ambianie$$

$$P^{YC_6H_4} CH - C CI NH - CH_2 - CH_2SCN$$

$$P^{YC_6H_4} CH - C CI NH - CH_2 - CH_2SCN$$

$$P^{YC_6H_4} CH - C CI NH - CH_2 - CH_2SCN$$

$$P^{YC_6H_4} CH - C CI NH - CH_2 - CH_2SCN$$

$$P^{YC_6H_4} CH - C CI NH - CH_2 - CH_$$

Schéma 4. Synthèse d'analogues du tétramisole à partir des époxydes 1.

# Pharmacologie

## Activité immunomodulatrice

Le développement d'une réaction immunitaire est secondaire à une activation des lymphocytes T, étape initiale, qui peut être étudiée *in vitro* par le test de transformation lymphoblastique (TTL). La phytohémagglutimine (PHA) a la propriété d'activer les lymphocytes humains par liaison à des récepteurs membranaires de nature osidique et d'induire une transformation lymphoblastique suivie de mitoses. L'intensité de la prolifération cellulaire est mesurable par l'incorporation d'un précurseur radioactif de l'ADN (thymidine tritiée: T<sup>3H</sup>) dans les cellules en mitoses. Nous avons recherché une éventuelle activité

immunomodulatrice des N-thiazolinoamides  $\alpha$ -halogénés 10 sur la réponse proliférative des lymphocytes humains activés en culture par la PHA.

#### Résultats et Discussion

Le composé 10 (Y = H, X = Cl) conduit dans 4 des 5 sujets testés à une augmentation de la réponse proliférative à la PHA (supérieure à la moyenne + 2 ET) pour des concentrations le plus souvent comprises entre  $10^{-3}$  et  $1 \mu g/ml$ .

Le composé 10 (Y = CH<sub>3</sub>, X = Br) s'est révélé actif pour 4 des 6 sujets testés, avec une amplification de la réponse à des concentrations variant de  $10^{-4}$  à  $1 \mu g/ml$ . Si la dose est égale ou supérieure à  $10 \mu g/ml$ , on observe une inhibition dans tous les cas. Les courbes montrent par ailleurs un phénomène oscillatoire. Celui-ci est à rapprocher des observations faites par Musatti *et al* [23] dans une étude sur le comportement du lévamisole dans le test des rosettes E.

Toutefois, dans nos essais, les concentrations actives sont supérieures à celles du tétramisole et, *a fortiori*, du lévamisole. De toutes façons des études complémentaires sont en cours (récepteur E, molécule

CD 3) afin de préciser l'origine de l'amplification proliférative observée qui pourrait être secondaire à des modifications de la membrane cellulaire, de structure ou de récepteurs impliqués dans le phénomène d'activation.

# Pharmacologie antiparasitaire

Activité anthelminthique

Les propriétés anthélminthiques ont été évaluées in vivo, d'une part sur Hymenolepis nana, cestode parasitant la souris, et d'autre part sur deux nématodes: Syphacia obvelata, oxyure de la souris et Nippostrongylus brasiliensis, parasite intestinal du rat. De plus, un autre nématode, Rhabditis pseudoelongata, très sensible à l'action du tétramisole a été utilisé. Les résultats sont présentés dans le tableau III.

Seul l'imidazothiazolinone 19 (Y = Cl) présente une faible activité vis-à-vis de *Rhabditis pseudoelongata*. En effet, on observe 45% de mortalité après 2 h de contact à la concentration de 10 mg/ml. Le chlorhydrate de tétramisole, dans les mêmes conditions, tue 83% des larves et des adultes à la concentration de 10 mg/ml (cf [22]).

Tableau III. Amides α-chlorés 17 et 18 pYC<sub>6</sub>H<sub>4</sub>CH-C-NHCH<sub>2</sub>CH<sub>2</sub>X.

		C1				
	Y	CH <sub>3</sub>	Cl	$NO_2$	Н	Cl
	X	ОН	Cl	Cl	Cl	SCN
	$F_{(EtOH)}$	102	82	90	84	106
	℃ Rdt (%)	90	98	92	96	70
	Formules	$C_{11}H_{14}NO_2Cl$	$C_{10}H_{10}NOCl_3$	$C_{10}H_{10}N_{2}O_{3}Cl_{2}$	$C_{10}H_{11}NOCl_2$	$C_{11}H_{11}N_2OSCl_2$
Managa	calc	227,0713	264,9827	205,0613	231,0217	287,9891
Masses	trouvée	277,72	264,982	205,060	231,021	287,988
IR Nujol cm−1	$v_{NH(L)}$	3305	3270	3296	3311	3275
ik Nujoi ciii -	$v_{CO(m)}$	1640	1646	1654	1648	1635, 2149a
	$\delta_{CH}$	5,35 (s, 1H)	5,40 (s, 1H)	5,50 (s, 1H)	5,40 (s, 1H)	5,25 (s, 1H)
$\begin{array}{c} \text{RMN} \\ (CDCl_3 + CF_3CO_2H) \end{array}$	$\delta_{CH_2CH_2X}$	3,45 (t, 2H) 3,65 (t, 2H)	3,70 (m, 4H)	3,70 (m, 4H)	3,60 (m, 4H)	3,65 (m, 4H)
	$\delta_{pYC_6H_4}$	2,40 (s, 3H) 7,20 (m, 4H)	7,35 (s, 4H)	7,90 (m, 4H)	7,40 (s, 5H)	7,40 (s, 4H)·

 $<sup>\</sup>overline{a}_{V_{C=N}}$ 

Activité protozoocide

Deux modèles ont été utilisés pour l'étude in vitro de l'activité protozoocide: Entamoeba histolytica et Trichomonas vaginalis.

Les résultats sont présentés dans le tableau III. Une faible activité est observée vis-à-vis d'*Entamoeba histolytica* pour les composés **10**, **18** et **19**. Toute-fois, la CMI sur *E histolytica* comprise entre 10 et 100  $\mu$ g/ml pour les composés **10** est nettement plus élevée que celle du métronidazole utilisé comme produit de référence (2–5  $\mu$ g/ml).

#### Conclusion

Puisque les époxydes de départ sont aisément accessibles et que leur réaction avec les halohydrates d'amine s'effectue dans des conditions relativement douces, la nouvelle méthode de synthèse des analogues structuraux du tétramisole que nous avons mise au point nous semble digne d'intérêt.

Les premiers résultats pharmacologiques montrent une faible activité des composés synthétisés mais permettent de dégager quelques principes de relations structure—activité. Afin que puisse se développer une activité 'tétramisole libre', il semble qu'il soit nécessaire de conserver l'intégralité de l'ensemble imidazo (2,1-b) thiazolique et que les structures, que l'on peut qualifier de potentielles, soient moins intéressantes. De plus, lorsque le cycle imidazothiazole existe, le substituant phényle, éventuellement substitué, doit se situer sur le sommet 6, confirmant ainsi certaines observations faites par d'autres auteurs [18, 19].

# Protocoles expérimentaux

Les spectres de RMN <sup>1</sup>H sont enregistrés à 80 MHz avec un spectrographe Brucker WP 80 et les spectres RMN <sup>13</sup>C avec un spectrographe Brucker WP 8 DS. Les résultats sont donnés en 10-6 (ppm) par rapport au tétraméthylsilane (réf interne).

Les spectres de masse sont enregistrés avec un spectromètre Varian Mat 311, les spectres IR avec un spectromètre Perkin-Elmer n° 225. Les points de fusion sont pris à l'aide d'un banc Kofler ou d'une platine chauffante équipée d'un microscope. Les analyses centésimales effectuées par le Service Central de Microanalyse du CNRS ont donné des résultats conformes aux normes habituelles; ils ne sont pas publiés et seuls sont indiqués les symboles des éléments dosés.

# $\alpha$ -Halogénoarylacétamides 4 (X = Cl, Br)

Cinq mmol d'époxyde 1 [4] sont mises en solution dans 20 ml d'acétonitrile; 1 ml d'hydracide (HCl 12 N ou HBr 48%) et 5 mmol d'amine sont ajoutés au milieu réactionnel. La solution est laissée sous agitation pendant 16 h et le solvant est évaporé. L'huile résiduelle est reprise par de l'éther et lavée par de la soude N. La phase éthérée est séchée sur sulfate de sodium puis évaporée. L'amide α-halogéné 4 qui précipite est essoré puis recristallisé dans de l'éthanol (tableau I).

2-Fluoro-2-p-tolyl éthanamide 4(X = F, Y = Me, R' = H)

A 5 mmol d'époxyde 1 (Y = Me) en solution dans 10 ml de dichlorométhane dans un bécher en Téflon, on ajoute 20 ml d'une solution HF (70 g)/pyridine (30 g). Le milieu réactionnel est abandonné 3 j au réfrigérateur (2°C). Il est alors neutralisé par une solution d'ammoniaque a 28%. Après extraction à l'éther, la phase organique est séchée sur sulfate de sodium puis évaporée. L'amide  $\alpha$ -fluoré précipite et est recristallisé dans de l'éthanol (tableau I).

#### 2-Fluoro-2-phénylpropanamide 6

Le mode opératoire précédent est appliqué à l'époxyde **5**: **6**, F = 110°C, Rdt 40%. IR (Nujol) 3400–3150 cm<sup>-1</sup> (L); 1659 cm<sup>-1</sup> (m). RMN (CDCl<sub>3</sub>)  $\delta$  CH<sub>3</sub> 1,93 (d, 3H;  $J_{HF}$  = 22 Hz)  $\delta$  C<sub>6</sub>H<sub>5</sub>: 7,00–7,75 (m, 5H). Masse calc pour C<sub>9</sub>H<sub>10</sub>NOF 167,0746; trouvée: 167,074.

# 2-Aryl-2-halogéno N[Δ<sub>I</sub>-thiazolino]éthanamides 10

Dix g de 2-amino  $\Delta_1$ -thiazoline sont agités dans 100 ml d'acétonitrile en présence de 10 ml d'hydracide (HCl 12 N ou HBr à 48%) pendant 10 min. L'halohydrate d'amino-2  $\Delta_1$ -thiazoline est essoré, lavé par de l'acétonitrile, de l'éthanol puis par de l'éther. Dix mmol d'époxyde 1 et 10 mmol d'halohydrate de 2-amino  $\Delta_1$ -thiazoline sont agitées dans 30 ml d'acétonitrile pendant 2 h à la température ambiante. Le précipité de 2-aryl-2-halogéno  $N[\Delta_1$ -thiazolino]éthanamide 10 est essoré puis recristallisé dans EtOH (tableau II). Le spectre de RMN  $^{13}$ C de l'amide 10 (X = Y = Cl) est donné dans le schéma 5.

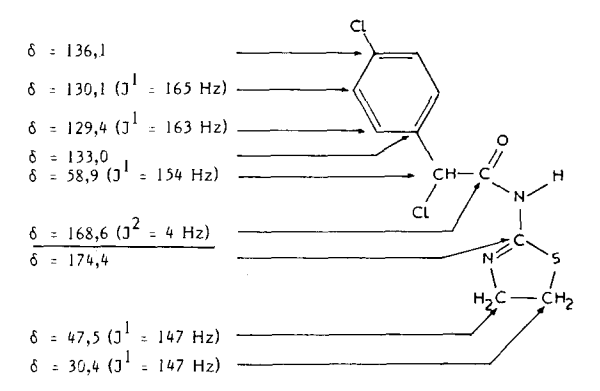


Schéma 5. Spectre RMN  $^{13}$ C du composé 10 (X = Y = Cl).

#### 5-Aryl-6-oxo 2,3,5,6-tétrahydroimidazo[2,1-b]thiazoles 13

5 mmol de 2-aryl-2-bromo-N-[ $\Delta_1$ -thiazolino]éthanamide 10 sont portés à ébullition pendant 20 h dans 20 cm³ de benzène. Après concentration de la moitié du solvant, le bromhydrate de 5-aryl-6-oxo-2,3,5,6-tétrahydroimidazo[2,1-b]thiazole 13 est filtré et lavé à l'éther puis recristallisé dans EtOH. 13 (Y = H), Rdt = 85%. F = 214°C. IR:  $v_{CO}$  = 1755 cm $^{-1}$  (m). RMN (CDCl $_3$  + CF $_3$ CO $_2$ H)  $\delta$  ppm: 3,50 (t, 2H); 4,10 (t, 2H); 6,00 (s, 1H); 7,35 (m, 5H). Masse  $C_{11}H_{10}N_2OS$  M $^+$ . calc: 218,0514; trouvée: 218,051. Anal (C, H, N, S, Br). 13 (Y = CH $_3$ ), Rdt = 80%. F = 195°C. IR (Nujol):  $v_{CO}$  = 1747 cm $^{-1}$  (m). RMN (CDCl $_3$  + CF $_3$ CO $_2$ H)  $\delta$ : 2,30 (s, 3H); 3,40 (t, 2H); 4,10 (t, 2H); 5,60 (s, 1H); 7,30 (m, 4H). Masse  $C_{12}H_{12}N_2OS$ : M $^+$ . calc: 232,0670; trouvée: 232,066. Anal (C, H, N, S, Br).

# 2-Bromo-2-phényl-N-thiazoloacétamide 14

A une solution contenant 5 mmol d'époxyde 1 (Y = H) dissoutes dans 20 ml d'acétone, on ajoute 1 ml de HBr à 48% et 5 mmol de 2-aminothiazole **8** et on laisse sous agitation pendant 2 h. La solution est filtrée puis évaporée. Le précipité blanc qui se forme est le 2-bromo-2-phényl *N*-thiazolo-acétamide **14** que l'on recristallise dans EtOH. Rdt 40%, F = 191°C, IR (Nujol) 3000 cm<sup>-1</sup> (L); 1670 cm<sup>-1</sup> (m). RMN (CDCl<sub>3</sub> + CF<sub>3</sub>CO<sub>2</sub>H)  $\delta$ : 5,70 (s, 1H); 7,15–7,90 (m, 7H). Masse C<sub>11</sub>H<sub>9</sub>N<sub>2</sub>OSBr: M+. calc: 295,9618; trouvée: 295,962. Anal (C, H, N, S, Br).

# 2-p-Chlorophényl-3,6-dioxo-2,3,5,6-tétrahydroimidazo[2,1-b]thiazole 15

Cinq mmol d'époxyde **1** (Y = H) et 5 mmol de bromhydrate de 2-amino-5-p-chlorophényl thiazolin-4-one **9** [17] sont portées à ébullition dans 30 ml d'acétonitrile pendant 3,5 h. Le précipité de 2-p-chlorophényl 3,6-dioxo-2,3,5,6-tétrahydroimidazo[2,1-b]thiazole **15** formé au cours de la réaction est essoré, lavé à l'acétonitrile puis recristallisé dans EtOH. Rdt 52%; F = 300°C; IR (Nujol) 3400-3000 cm<sup>-1</sup> (L); 1658 cm<sup>-1</sup> (F). Masse  $C_{17}H_{11}N_2O_2SCl$ : M+. calc: 342,0229; trouvée: 342,020. Anal (C, H, N, S, Cl).

# α-Chloroarylacétamides 17

Dix ml d'époxyde 1 et 10 mmol de chlorhydrate d'éthanolamine 16 (X = OH) (ou 10 mmol de chlorhydrate de chloro-2 éthylamine 16 (X = Cl) en suspension dans 40 ml d'acétonitrile sont portées à l'ébullition sous agitation pendant 1 h. Après évaporation du solvant l' $\alpha$ -chloro arylacétamide 17, X = OH (ou X = Cl) précipite. Il est recristallisé dans de l'éthanol. Les principales caractéristiques des composés préparés sont regroupées dans le tableau IV.

#### N-[2'-Thiocyanatoéthyl]2-chloroarylacétamide 18

Le système biphasique constitué par le mélange d'une solution d' $\alpha$ -chloroarylacétamide **17** (X = Cl) (0,5 mmol) dans du toluène (30 ml) et d'une solution aqueuse (30 ml) de thiocyanate d'ammonium (1,5 g) et de chlorure de benzyltriethylammonium (0,4 g) est porté à reflux pendant 24 h en maintenant une agitation vigoureuse. La phase organique est lavée par de l'eau, séchée sur sulfate de sodium puis évaporée. Le N-[2'-thiocyanatoéthyl]-2-chloroarylacétamide **18** qui précipite est recristallisé dans EtOH dans le cas du composé **18** (Y = Cl) (tableau IV) ou est directement utilisée pour préparer l'imidazothiazole **19** (Y = H) dans le cas du composé **18** (Y = H).

## α-Chloroarylacétamide 11

Trois mmol d'amide  $\alpha$ -chloré **18** (Y = Cl), en suspension dans 30 ml d'isopropanol sont agitées à la température ambiante pendant 16 h en présence de 2 ml de NEt<sub>3</sub>. Après évaporation du solvant, l'huile obtenue est reprise par du chloroforme et lavée plusieurs fois à l'eau. La solution de chloroforme est séchée sur Na<sub>2</sub>SO<sub>4</sub> puis évaporée. Le solide qui cristallise après évaporation du solvant est lavé par de l'éther et ne peut pas être recristallisé dans de l'éthanol puisqu'il se cyclise en imidazothiazole **19** dans ces conditions. Ce composé est pur à l'échelle de la RMN. F = 158°C, Rdt 80%; IR (Nujol) 3247 cm<sup>-1</sup> (L), 1625 cm<sup>-1</sup>. RMN (CDCl<sub>3</sub>)  $\delta$ : 3,85 (t, 2H); 4,10 (t, 2H); 5,20 (s, 1H); 7,35 (m, 4H). Masse  $C_{11}H_{10}N_2OSCl_2$ : M<sup>+</sup>. calc: 287,9890; trouvée: 287,988.

**Fableau IV.** Activité antiparasitaire.

	Produits		H nana		4	N brasiliensis			S obvelata		R pseudoelongata	doelor	gata		E histo-	T vagi-
		Nbre "		% Dépa-	Nbre "	Dose en	%	Nbre "	Dose en	% Dépa-	Mortalité en %	lité en	% -		lytica	nalis
		a animaux	mg•kg-1	rasite	a animaux	mg•kg-	Ked	d anımaux	mg•kg-1	rasitė	1 01 1/8m 001	01	,	0,1	CMI	CMI
	Y = H, X = CI	S	200	0	4	200	· w	. ح	200	0	21	7	7	1	> 100	10–100
	$Y = CH_3, X = CI$	5	200	0	4	200	35	5	200	0	33	22	12	1	10-100	> 100
	$Y = CH_3$ , $X = Br$	\$	200	0	4	200	48	5	200	0	21	18	6	I	10-100	> 100
- 91	Y = CI, X = CI	2	200	0	4	200	33	5	200	0	22	21	10	1	10-100	> 100
2	$Y = pNO_2$ , $X = Cl$	5	200	0	4	200	45	5	200	0	25	12	10	ı	10-100	10-100
-	Y = H, X = Br	\$	200	0	4	200	17	S	200	0	27	-	_	I	10-100	> 100
	$Y = pNO_2$ , $X = Br$	5	200	0	4	200	20	5	200	0	22	S	0	1	> 100	> 100
	Y = Cl, X = Br	5	200	0	4	200	23	ĸ	200	0	45	25	5	ı	> 100	> 100
18,	Y = Cl	5	200	0	4	200	6	5	200	0	14	5	4	1	10-100	10-100
19,	Y = CI	5	200	0	4	200	0	I	1	ı	ı	45	15	6	10-100	> 100
	Lévamisole	S	200	0	4	10	66	5	40	100	100	100	73	16	I .	1

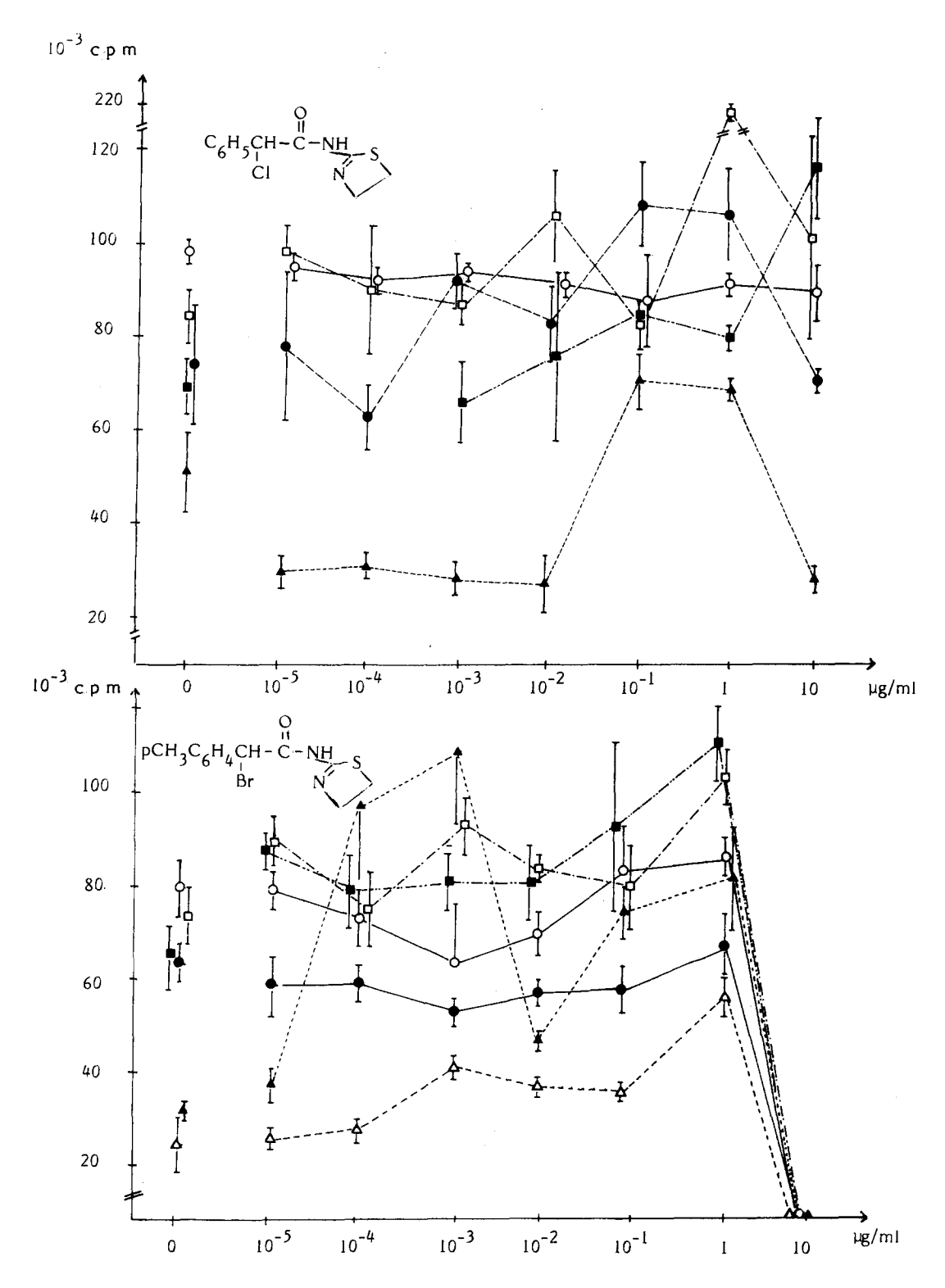


Schéma 6. Réponse proliférative des lymphocytes activés par la PHA et en présence de concentrations variables des composés 10 (Y = H, X = Cl) ou  $10 (Y = CH_3, X = Br)$  exprimée en moyenne des coups par minutes (cpm)  $\pm 1$  ET.

Le spectre de masse du composé 11 (X = Cl) a été comparé à celui de son isomère 10 (X = Y = Cl). Comme on pouvait s'y attendre l'ion fragment situé à m/e = 129 qui provient directement de l'ion moléculaire dans le composé 10 (voir partie théorique) n'est pas observé dans le cas de l'amide 11. En revanche, le composé 11 perd facilement une molécule de HCl conduisant ainsi à un pic intense situé à m/e = 252.

#### 6-Aryl-5-oxo-2,3,5,6-tétrahydroimidazo[2,1-b]thiazole 19

Lorsque la réaction précédente est réalisée à la température d'ébullition de l'isopropanol, on isole directement le 6-aryl-5-oxo-2,3,5,6-tétrahydroimidazo[2,1-b]thiazole 19 qui est recristallisé dans de l'éthanol.

**19**, Y = Cl, F = 110°C, Rdt 82%. IR (Nujol)  $v_{CO}$  1704 cm<sup>-1</sup> (F). RMN (CDCl<sub>3</sub>)  $\delta$ : 3,75 (t, 2H); 4,40 (t, 2H); 5,55 (s, 1H); 7,35 (m, 4H). Masse  $C_{11}H_9N_2OSCl$ : M+\* calc: 252,0119; trouvée: 252,012. Anal (C, H, N, S, Cl).

**19**, Y = H, F = 138°C, Rdt 75%. IR (Nujol)  $v_{CO}$  1704 cm<sup>-1</sup> (F). RMN (CDCl<sub>3</sub>)  $\delta$ : 3,80 (t, 2H); 4,45 (t, 2H); 5,60 (s, 1H); 7,40 (s, 5H). Masse  $C_{11}H_{10}N_2OS$ : M+\* calc: 218,0513; trouvée: 218,052. Anal (C, H, N, S).

#### Pharmacologie

Protocole de recherche d'une activité immunomodulatrice Les lymphocytes humains sont séparés stérilement du sang veineux hépariné par centrifugation sur un gradient de Ficoll triosil (d = 1,077). Les cellules mononuclées sont recueillies à l'interface gradient-plasma, mis en suspension dans un milieu salin (Hanks) contenant des antibiotiques (pénicilline-streptomycine) et lavées par centrifugation dans ce même milieu. La suspension cellulaire est ajustée à 106 par ml dans un milieu de culture (199) contenant des antibiotiques et additionnée de glutamine et de 20% de plasma humain AB. Les cultures sont réalisées en 3 exemplaires, en microplaques de 96 cupules de 200 µl. A 100 µl de suspension cellulaire (105 cellules) sont ajoutés 10 µl d'une solution de PHA à 45 µg/ml et 10 µl d'une suspension de la molécule à tester à des concentrations variables dans le milieu de culture. Les contrôles sont réalisés en présence de PHA seule et en présence de chaque dilution de la molécule à tester en l'absence de PHA. Aucun des composés testés ne s'est révélé mitogénique, c'est-à-dire capable par luimême d'induire la prolifération des lymphocytes en culture en l'absence de PHA. Les plaques de culture sont placées pour 72 h dans un incubateur à 37°C en atmosphère saturée en humidité et contenant 95% d'air et 5% de CO2. Dix-huit h avant la fin de la culture 0,5 µCi de T<sup>3H</sup> est ajouté à chaque puit de réaction. L'arrêt de l'incorporation est obtenu par refroidissement des cultures à 4°C. Le contenu cellulaire de chaque puit de culture est recueilli par filtre Whatman et lavé à l'aide d'un dispositif semi-automatique (multiple cell harvester). Les pastilles de filtre sont séchées à l'étuve, placées dans des fioles en plastique et additionnées de liquide de scintillation. L'incorporation de T<sup>3H</sup> est appréciée au compteur β à scintillation liquide et les résultats sont exprimés en coups par minute (cpm).

Les essais sont réalisés sur au moins 4 suspensions de lymphocytes provenant de sujets adultes sains. La réponse proliférative des lymphocytes en culture en présence de chacune des concentrations testées est comparée à la réponse de référence en présence de PHA seule. Les résultats exprimés par la moyenne des cpm pour chaque triplet de culture sont représentés dans le schéma 6 pour les seuls composés 10

 $(Y = H, X = Cl; Y = CH_3, X = Br)$  qui modifient de façon significative la réponse proliférative des lymphocytes en culture stimulée par la PHA.

Protocoles de pharmacologie antiparasitaire

Les protocoles des différents essais ont été publiés dans des travaux antérieurs [19–22] et rappelés dans notre précédente publication.

#### Remerciements

Ce travail a bénéficié d'une aide à l'innovation de l'Anvar Bretagne que nous remercions.

#### Références

- Ferrey M, Robert A, Foucaud A (1973) C R Acad Sci (Paris) 277C, 1153–1155
- 2 Ferrey M, Robert A, Foucaud A (1976) Synthesis 261–262
- 3 Baudy M, Robert A (1976) J Chem Soc Chem Comm 23-24
- 4 Baudy M, Robert A, Foucaud A (1978) *J Org Chem* 43, 3732–3736
- 5 Baudy-Floc'h M, Robert A (1981) Synthesis 981–983
- 6 Souizi A, Robert A (1982) C R Acad Sci (Paris) 295, 571–573
- 7 Guinamant JL, Robert A (1986) Tetrahedron 42, 1169–1177
- 8 Jaguelin S, Robert A, Gayral P (1991) Eur J Med Chem 26, 51–57
- 9 Scrimin P, D'Angeli F, Veronese AC (1982) Synthesis 586-587
- 10 Cavicchioni G, Scrimin P, Veronese AC, Balboni G, D'Angeli F (1982) J Chem Soc Perkin Trans I 2969–2972
- Symoens J, Rosenthal M (1977) J Reticulo Endothel Soc
   11, 175–220; Robert JF (1974) Thèse de Doctorat,
   Besançon
- 12 Chimetron SARL (1967) Brevet français 1488271; *Chem Abstr* (1968) 69.43909v
- 13 Padini JP, Lendway LL (1969) J Med Chem 12, 1031-1034
- 14 Janssen Pharmaceutica (1966) Brevet français 1 461394
- 15 Robert JF, Panouse JJ (1979) J Heterocycl Chem 16, 1201–1207
- Elguero J, Marzin C, Katritzky AR, Linda P (1976) The tautomerism of heterocycles. In: Advances in Heterocyclic Chemistry (Paris) (Katritzky AR, Boulton AJ, eds) Academic Press, NY pp 427
- 17 Ferrey M, Robert A, Foucaud A (1973) C R Acad Sci (Paris) 277C, 1153–1155
- 18 Robert JF (1978) Ann Med Univ Besançon 4, 5
- 19 Brienne MJ, Jacques J, Gayral P (1981) Eur J Med Chem 16, 363–366
- 20 Gayral P, Bourdais J, Lorre A, Abenhaim D (1978) Eur J Med Chem 13, 171-175
- 21 Karmouta MG, Lafont O, Combet-Farnoux C, Miocque M, Rigothier MC, Louchon B, Gayral P (1980) Eur J Med Chem 15, 341–349
- 22 Gayral P, Rigothier MC, Gautier JC, Coumes RC, Gorrichon JP, Gaset A (1981) Eur J Med Chem 16, 151-155
- 23 Musatti CC, Daher S, Bernd LAG, Mendes NF (1983) *J Clin Immunol* 3, (4), 352–358